

01;07

## Спиральные волны в оптическом волокне

© И.В. Дзедолик, А.И. Дзедолик

Таврический национальный университет им. В.И. Вернадского,  
Симферополь  
E-mail: dzedolik@crimea.edu

Поступило в Редакцию 24 сентября 2001 г.  
В окончательной редакции 10 января 2002 г.

Найдены решения в виде нелинейных спиральных электрических и магнитных волн и волн поляризации в кварцевом волокне. Рассчитаны их параметры: нормальная скорость волнового фронта и шаг спирали в зависимости от свойств волокна, амплитуды и частоты электромагнитного поля.

В активных средах, для которых имеет место непрерывный приток энергии от внешнего источника и ее диссипация, возможно существование двумерных нелинейных однорукавных и многорукавных спиральных волн, а также трехмерных волновых структур — простых и скрученных вихрей, сформированных спиральными волнами, центры вращения которых образуют нить вихря [1]. Оптическое волокно в этом смысле является пассивной диссипирующей средой. Однако в результате наличия границ между сердцевиной и оболочкой волокна электромагнитное поле в такой волноведущей среде распространяется в форме мод, удовлетворяющих условиям трансляции и суперпозиции в линейном случае [2]. Гибридные  $EH$  и  $HE$  моды, которым соответствуют косые лучи в волокне, имеют геликоидальные (спиральные) эквифазные поверхности [3]. Аналогично в жидкости или в газе, заполняющих цилиндрическую трубу, волны плотности распространяются в форме мод и также возможно существование спиральных волн [4]. Волновой фронт такой волны скручивается в спираль из-за отставания удаленных от оси участков фронта, так как скорость волны в среде  $v = \omega r = \text{const}$  постоянна [1]. Спиральные волны возникают на поверхности вихревой воронки в жидкости или газе [3] и т.п. Аналогия между нелинейными и линейными спиральными волнами весьма интересна и информативна. В случае возникновения спиральных волн в оптически прозрачной

пассивной среде можно говорить о самоорганизации электромагнитного поля в результате нелинейного взаимодействия поля со средой.

В настоящее время активно изучается один из вариантов самоорганизации электромагнитного поля в диэлектрической среде с нелинейными свойствами — вихревые солитоны [5,6]. Для описания нелинейных вихрей, как и для спиральных волн, существенно рассмотрение поперечного распределения поля в отличие от солитонов в оптическом волокне, динамика которых описывается изменениями огибающей в зависимости от продольной координаты и времени [7].

Рассмотрим условия возникновения волн поляризации и электромагнитных спиральных волн в оптически прозрачной среде с однородным показателем преломления. В установившемся режиме фаза спиральной волны имеет вид  $\phi = \omega t - \theta(r) + \ell\varphi - \beta z$ , где  $\theta(r)$  — функция полярного радиуса, описывающая форму спирали,  $\varphi$  — полярный угол,  $\ell$  — азимутальный индекс, задающий число рукавов спирали (топологический заряд),  $z$  — продольная координата. Запишем систему уравнений Максвелла для электромагнитного поля в непроводящем диэлектрике — кварцевом волноводе:

$$\begin{aligned} \nabla \times \mathbf{B} &= \frac{1}{c} \frac{\partial \mathbf{D}}{\partial t}, & \nabla \mathbf{D} &= 0, \\ \nabla \times \mathbf{E} &= -\frac{1}{c} \frac{\partial \mathbf{B}}{\partial t}, & \nabla \mathbf{B} &= 0, \end{aligned} \quad (1)$$

с материальным уравнением

$$\mathbf{D} = \mathbf{E} + 4\pi\mathbf{P}, \quad (2)$$

где  $\mathbf{P} = -eN\mathbf{r}$  — вектор поляризации среды. Из (1) и (2) с учетом  $\nabla \mathbf{F} + 4\pi\nabla \mathbf{P} = 0$  получаем уравнение

$$\left( \nabla^2 - \frac{1}{c^2} \frac{\partial^2}{\partial t^2} \right) \mathbf{E} = -4\pi \left[ \nabla(\nabla \mathbf{P}) - \frac{1}{c^2} \frac{\partial^2 \mathbf{P}}{\partial t^2} \right]. \quad (3)$$

Элементарная ячейка кварца имеет центр симметрии, поэтому потенциал кристаллической решетки можно аппроксимировать четной периодической функцией  $U = -f_0 \cos(\frac{2\pi}{r_0} r)$ , где  $r_0$  — средний радиус атома. Уравнение движения оптического электрона в атоме, находящем-

ся в узле кристаллической решетки кварца, представим в виде

$$m \frac{d^2 \mathbf{r}}{dt^2} = -\nabla U - \sigma \frac{d\mathbf{r}}{dt} - e\mathbf{E}, \quad (4)$$

где  $-\nabla U = -\mathbf{f}_0 \sin(\frac{2\pi}{r_0} r)$  — „усредненная“ возвращающая сила кристаллической решетки. Умножим уравнение (4) на  $-eN$  и разделим на массу электрона  $m$ , получим уравнение для поляризации

$$\frac{d^2 \mathbf{P}}{dt^2} = -\mathbf{f}_m \sin(\mathbf{qP}) + \sigma_m \frac{d\mathbf{P}}{dt} + v_e^2 \mathbf{E}, \quad (5)$$

где  $\mathbf{f}_m = \mathbf{f}_0 eN/m$ ,  $\mathbf{q} = \mathbf{1}(2\pi/r_0 eN)$ ,  $\sigma_m = \sigma/m$ ,  $v_e^2 = e^2 N/m$ . Система уравнений (3)–(5) описывает нелинейные моды диэлектрического волновода. Получив решение для электрического поля из (3)–(5), магнитное поле можно найти из (1):

$$\mathbf{B} = -c \nabla \times \int dt \mathbf{E}. \quad (6)$$

Найдем решение системы (3)–(5) в простейшем случае, полагая, что векторы электромагнитного поля и поляризации имеют только радиальные компоненты  $E = E_r(r, \varphi, z)$ ,  $P = P_r(r, \varphi, z)$ . Тогда из (3)–(5) получаем систему уравнений

$$\left( \nabla^2 - \frac{1}{c^2} \frac{\partial^2}{\partial t^2} \right) E = -4\pi \left( \frac{\partial^2 P}{\partial r^2} - \frac{P}{r^2} + \frac{1}{r} \frac{\partial P}{\partial r} \right) + \frac{4\pi}{c^2} \frac{\partial^2 P}{\partial t^2},$$

$$\frac{\partial^2 P}{\partial t^2} - \sigma_m \frac{\partial P}{\partial t} + f_m \sin(qP) = v_e^2 E. \quad (7)$$

Представим компоненты поля и вектор поляризации в форме  $E = E_0 \exp(i\phi)$ ,  $B = B_0(i\phi)$ ,  $P = P_0(i\phi)$ . Тогда систему (7) перепишем в виде

$$\left[ \frac{\partial^2 \theta}{\partial r^2} - i \left( \frac{\partial \theta}{\partial r} \right)^2 + \frac{1}{r} \frac{\partial \theta}{\partial r} + i \left( \frac{\omega^2}{c^2} - \beta^2 - \frac{\ell^2}{r^2} \right) \right] E$$

$$= -4\pi \left[ \frac{\partial^2 \theta}{\partial r^2} - i \left( \frac{\partial P}{\partial r} \right)^2 + \frac{1}{r} \frac{\partial \theta}{\partial r} - i \frac{1}{r^2} + i \frac{\omega^2}{c^2} \right] P,$$

$$P - \frac{f_m}{\omega^2 + i\sigma_m \omega} \sin(qP) = -\frac{v_e^2}{\omega^2 + i\sigma_m \omega} E. \quad (8)$$

Разложим синус в ряд  $\sin(qP) = qP(1 - q^2 P_0^2/3! + q^4 P_0^4/5! - q^6 P_0^6/7! + \dots) \equiv \mu qP$  и подставим в (8), получаем „дисперсионное уравнение“

$$\begin{aligned} & \frac{\partial^2 \theta}{\partial r^2} - i \left( \frac{\partial \theta}{\partial r} \right)^2 + \frac{1}{r} \frac{\partial \theta}{\partial r} \\ &= \frac{i\omega_e^2}{\omega^2 - \omega_e^2 - \mu q f_m + i\sigma_m \omega} \left( \beta^2 + \frac{\ell^2 - 1}{r^2} \right) - i \left( \frac{\omega^2}{c^2} - \beta^2 - \frac{\ell^2}{r^2} \right). \end{aligned} \quad (9)$$

Перепишем уравнение (9), обозначив  $\eta = d\theta/dr$ :

$$\frac{d\eta}{dr} - i\eta^2 + \frac{1}{r}\eta = i \left( \beta^2(1 + \gamma) - \frac{\omega^2}{c^2} + \frac{\ell^2(1 + \gamma) - \gamma}{r^2} \right), \quad (10)$$

где  $\gamma = \omega_e^2/(\omega^2 - \omega_e^2 - \mu q f_m + i\sigma_m \omega)$ . Это — общее уравнение Рикатти. Используя подстановку  $\eta = id \ln(u)/dr$ , перепишем (10) в виде уравнения Бесселя

$$\frac{d^2 u}{dr^2} + \frac{1}{r} \frac{du}{dr} + \left( \frac{\omega^2}{c^2} - \beta^2(1 + \gamma) - \frac{\ell^2(1 + \gamma) - \gamma}{r^2} \right) u = 0. \quad (11)$$

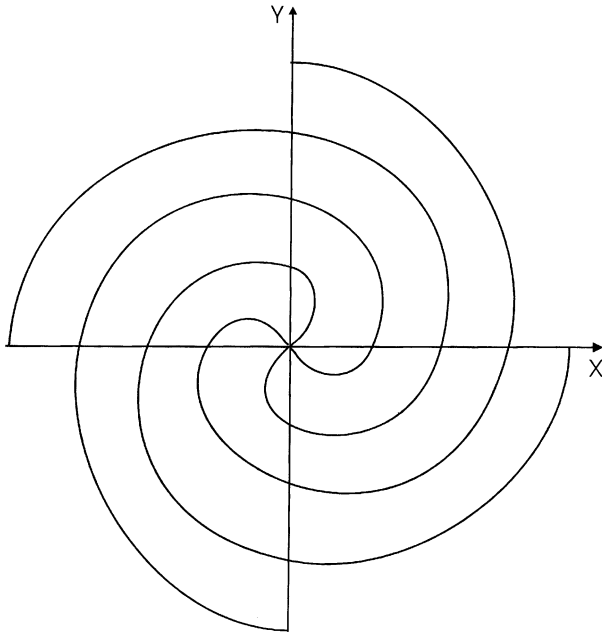
Решение уравнения (11) представим в форме функции Ханкеля  $u = C_0 H_m^{(1)}(R)$ , где  $R = \sqrt{\omega^2/c^2 - \beta^2(1 + \gamma)} r$ , а индекс  $m = \sqrt{\ell^2(1 + \gamma) - \gamma}$ . Произведя обратную подстановку  $\eta = i(du/dr)/u = i\sqrt{\omega^2/c^2 - \beta^2(1 + \gamma)} [dH_m^{(1)}(R)/dR]/H_m^{(1)}(R)$  и интегрируя переменную  $\eta = d\theta/dr$ , находим форму спиральной волны

$$\theta = \int \eta dr = i \int \frac{d \ln H_m^{(1)}(R)}{dR} dR = i \ln H_m^{(1)}(R). \quad (12)$$

Подставляя (12) в  $E = E_0 \exp(i\phi)$ , находим выражение для электрического поля

$$E_r = E_0 H_m^{(1)}(R) \exp[i(\omega t + \ell \phi - \beta z)], \quad (13)$$

которое вдали от области поглощения при условии  $\gamma \ll 1$  ( $m = \ell$ ) совпадает с выражениями для спиральных химических волн [3] и волн в газе [4].



**Рис. 1.** Поверхности равной фазы  $\omega t - \beta z = \text{const}$  спиральной волны с топологическим зарядом  $\ell = 4$  в поперечном сечении кварцевого волокна.

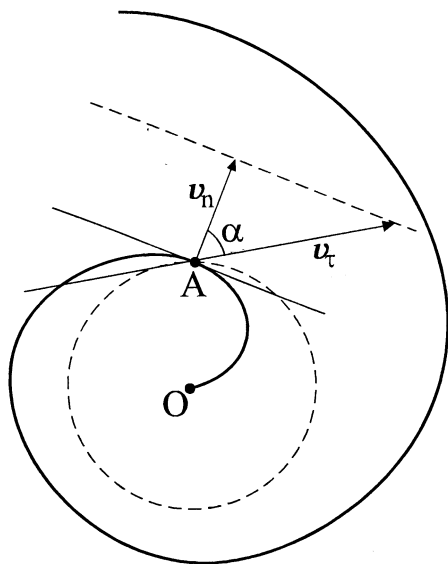
Магнитное поле находим из (6), подставляя (13):

$$B_\varphi = -c \frac{\partial}{\partial z} \int dt E = \frac{c\beta B_0}{\omega} H_m^{(1)} \exp[i(\omega t + \ell\varphi - \beta z)]. \quad (14)$$

Комплексный вектор Пойнтинга в рассматриваемом случае равен

$$\begin{aligned} \mathbf{S} &= \frac{c}{4\pi} \mathbf{E} \times \mathbf{B} = \frac{c}{4\pi} \mathbf{1}_z E_r B_\varphi \\ &= \mathbf{1}_z \frac{c\beta E_0 B_0}{\omega} [H_m^{(1)}(R)]^2 \exp[i2(\omega t + \ell\varphi - \beta z)]. \end{aligned} \quad (15)$$

Нелинейные волны поляризации в кварцевом волноводе, электрические (13), магнитные (14), а также плотность потока энергии (15)



**Рис. 2.** Скорость фронта спиральной волны в поперечном сечении кварцевого волокна.

представляют собой спиральные волны. Поверхности равной фазы при  $R \gg 1$  представляют собой в поперечной плоскости архимедовы спирали:  $\omega t - R + \ell\phi - \beta z = \text{const}$  (рис. 1). Вблизи оси волновода при  $R \rightarrow 0$  фронт спиральной волны искажается.

Найдем скорость точки  $A$  спиральной волны, удаленной на расстояние  $r$  от центра спирали  $O$  [1]. Проведем через точку  $A$  окружность с центром в точке  $O$ , тогда скорость пересечения фронтом волны этой окружности равна  $v_t = \omega r$ , а скорость нормального смещения фронта обозначим  $v_n$  (рис. 2). Скорость кругового движения связана с нормальной скоростью фронта соотношением  $v_n = v_t \cos \alpha$ , где  $\alpha$  — угол между нормалью к фронту и касательной к окружности в точке  $A$ . Учтем, что  $\text{tg} \alpha = r d\phi/dr = -r\eta$ , тогда находим  $\cos \alpha = 1/\sqrt{1 + \text{tg}^2 \alpha} = 1/\sqrt{1 + r^2\eta^2}$ . Скорость нормального смещения

фронта спиральной волны определяется выражением

$$v_n = \frac{v_r}{\sqrt{1 + r^2 \eta^2}} = \frac{\omega}{\sqrt{r^{-2} + [\beta^2(1 + \gamma) - \omega^2/c^2][d \ln H_m^{(1)}(R)/dR]^2}}.$$

Шаг спиральной волны можно определить из уравнения  $\theta(R + h_S) - \theta(R) = 2\pi$ , которое в рассматриваемом случае имеет вид  $H_m^{(1)}(R + b_S) = H_m^{(1)}(R)$ . Скорость фронта и шаг спиральной волны в кварцевом волноводе зависят от частоты электромагнитного поля, электронной плазменной частоты, амплитуды волны поляризации и топологического заряда. Критическое значение интенсивности электромагнитного поля, при котором следует учитывать нелинейную поляризацию кварцевых стекол, должно быть не менее  $I \sim 10^{12} \text{ W/cm}^2$  [7], т.е. при такой интенсивности возможно наблюдать спиральные волны в оптическом волокне.

## Список литературы

- [1] Лоскутов А.Ю., Михайлов А.С. Введение в синергетику. М.: Наука, 1990. 272 с.
- [2] Снайдер А., Лав Дж. Теория оптических волноводов. М.: Радио и связь, 1987. 656 с.
- [3] Berry M. // Les Houches Lecture. Series 35. North-Hollands, Amsterdam, 1981. P. 453–543.
- [4] Скучик Е. Основы акустики. Т. 2. М.: Мир, 1976. 542 с.
- [5] Rosas D., Law C.T., Swartzlander G.A., jr. // J. Opt. Soc. Am. B. 1997. V. 14. N 11. P. 3054–3065.
- [6] Kivshar Y.S., Nepomnyashchy A., Tikhonenko V., Christou J., Luther-Davies B. // Optics Letters. 2000. V. 25. N 2. P. 123–125.
- [7] Ахманов С.А., Выслоух В.А., Чиркин А.С. Оптика фемтосекундных лазерных импульсов. М.: Наука, 1988. 312 с.